

妊娠期糖尿病中细胞因子信号传导抑制蛋白-3过表达对滋养细胞增殖与凋亡的作用研究

刘晶晶¹, 刘莹^{1*}, 李玉珍²

基金项目:陕西省科技计划项目(项目编号:2019SF-164)

作者单位:710075 陕西 西安,1. 西安市第四医院妇产科;2. 西安交通大学医学部基础医学院

作者简介:刘晶晶,毕业于哈尔滨医科大学,硕士研究生,主治医师,主要研究方向为妇科肿瘤及妊娠期合并症

* 通信作者,E-mail:huwt19860620@163.com

【摘要】目的 探讨细胞因子信号传导抑制蛋白-3(suppressor of cytokine signaling-3, SOCS-3)在妊娠期糖尿病(gestational diabetes mellitus, GDM)患者胎盘组织中的表达,及其过表达对滋养细胞增殖和凋亡的影响。

方法 收集西安市第四医院2018年6月至2019年12月50例GDM患者和50例健康孕妇的胎盘组织,采用荧光定量PCR(qRT-PCR)检测胎盘组织中SOCS-3 mRNA的表达,免疫组织化学染色检测SOCS-3蛋白表达。将培养的HTR-8/SVneo细胞随机分为空白对照组、空质粒转染组与SOCS-3质粒转染组,采用Lipofectamine 2000将pCR 3.1/SOCS-3质粒载体和pCR 3.1空质粒载体分别转染至SOCS-3质粒转染组与空质粒转染组细胞中,qRT-PCR和蛋白质免疫印迹(Western blot)检测转染效率,并通过CCK-8、流式细胞术、Annexin V-FITC/PI及Hoechst 33342实验分别观察过表达SOCS-3对细胞活性、周期分布与凋亡的影响。**结果** SOCS-3在GDM患者胎盘组织中表达量明显高于健康胎盘组织;体外转染pCR 3.1/SOCS-3质粒载体后,SOCS-3质粒转染组细胞中SOCS-3 mRNA及蛋白的表达量较空白对照组明显升高;与空白对照组相比,SOCS-3质粒转染组HTR-8/SVneo细胞活性下降,S期细胞比例显著升高而G1期细胞比例下降,细胞凋亡率增加,且出现明显的细胞凋亡形态。**结论** SOCS-3在GDM患者胎盘组织中呈现高表达,过表达SOCS-3可显著抑制滋养细胞的增殖并促进其凋亡。

【关键词】 妊娠期糖尿病;细胞因子信号传导抑制蛋白-3;滋养细胞;增殖;凋亡

【中图分类号】R 737.33 **【文献标志码】**A **【文章编号】**1674-4020(2021)06-060-06

doi:10.3969/j.issn.1674-4020.2021.06.14

Effect of overexpression of suppressor of cytokine signaling-3 on trophoblast proliferation and apoptosis in gestational diabetes mellitus

LIU Jingjing¹, LIU Ying^{1*}, LI Yuzhen²

1. Department of Obstetrics and Gynecology, The Fourth Hospital of Xi'an; 2. School of Basic Medicine, School of Medicine, Xi'an Jiaotong University, Xi'an Shaanxi 710075, P. R. China

* Corresponding author, E-mail:huwt19860620@163.com

[Abstract] Objective To investigate the expression of suppressor of cytokine signaling-3 (SOCS-3) in placental tissue of patients with gestational diabetes mellitus (GDM), and the effect of over expression on trophoblast proliferation and apoptosis.

Methods Collected placental tissues of 50 GDM patients and 50 healthy pregnant women from June 2018 to December 2019 in The Fourth Hospital of Xi'an. Fluorescence quantitative PCR (qRT-PCR) was used to detect the expression of SOCS-3 mRNA in placental tissue, immunohistochemical staining was used to detect SOCS-3 protein expression. The cultured HTR-8/SVneo cells were randomly divided into blank control group, empty plasmid transfection group and SOCS-3 plasmid transfection group, using Lipofectamine 2000, the pCR3.1/SOCS-3 plasmid vector and pCR3.1 empty plasmid vector were transfected into SOCS-3 plasmid transfection group and empty plasmid transfection group cells, respectively. qRT-PCR and Western blot were used to detect transfection efficiency. CCK-8, flow

cytometry, Annexin V-FITC/PI and Hoechst 33342 experiments were used to observe the effects of overexpression of SOCS-3 on cell activity, cycle distribution and apoptosis. **Results** The expression of SOCS-3 in the placental tissue of GDM patients was significantly higher than that of healthy placenta tissue. After transfection of pCR3.1/SOCS-3 plasmid vector in vitro, the expression of SOCS-3 mRNA and protein in cells of SOCS-3 plasmid transfection group was significantly higher than that of blank control group. Compared with the blank control group, the activity of HTR-8/SVneo cells in the SOCS-3 plasmid transfection group decreased, the proportion of cells in S phase increased significantly and the proportion of cells in G1 phase decreased, apoptosis rate increased significantly, and there was an obvious form of apoptosis. **Conclusion** SOCS-3 is highly expressed in the placental tissue of GDM patients. Overexpression of SOCS-3 can significantly inhibit the proliferation of trophoblast cells and promote their apoptosis.

[Key words] gestational diabetes mellitus; suppressor of cytokine signaling-3; trophoblast; proliferation; apoptosis

妊娠期糖尿病(gestational diabetes mellitus, GDM)是指在妊娠期间出现不同程度的葡萄糖耐受不良,从而导致的高血糖代谢疾病^[1]。据统计,约10%左右孕妇患有GDM,且其发病率逐年增加^[2]。由于胎盘激素的抗胰岛素作用,孕妇脂肪组织增加和胰岛素抵抗被认为是引起GDM的主要因素,GDM的进一步发展将会增加妊娠期其他并发症的发生率,且妊娠后患糖尿病的风险也越来越高^[3],严重威胁产妇与婴儿的健康。

细胞因子信号传导抑制蛋白-3(suppressor of cytokine signaling-3, SOCS-3)是细胞因子信号传导抑制蛋白家族成员,由细胞产生并反馈性阻断细胞因子信号转导过程,参与多种细胞因子、生长因子和激素的信号调节^[4]。SOCS-3可以抑制白细胞介素-1受体(interleukin-1 receptor, IL-1R)、肿瘤坏死因子受体(tumor necrosis factor receptor, TNF-R)可溶性蛋白和白细胞介素-6受体(interleukin-6 receptor, IL-6R)信号通路^[5]。研究表明,SOCS-3及其这些负性调节因子与GDM的发生发展密切相关^[6]。本研究通过探讨SOCS-3在GDM胎盘组织的表达情况,以及过表达SOCS-3对滋养细胞增殖与凋亡能力的影响,为靶向治疗GDM奠定实验基础。

1 材料与方法

1.1 临床资料采集

选取2018年6月至2019年12月于西安市第四医院妇产科住院分娩的GDM患者50例和同期健康孕妇50例。所有孕妇均为单胎,均因不同原因实施剖宫产手术分娩,无其他病史,均签署知情同意书。GDM患者均符合世界卫生组织GDM诊断标准。待胎盘娩出后,取母体中央胎盘脐带根部组织1 cm×1 cm×1 cm大小块,注意避开出血、坏死与钙化区域,使用PBS溶液漂洗后,一部分置于液氮中快速冷冻后,保存于-80℃冰箱中,另一部分固定于10%甲醛中。

1.2 主要材料与试剂

人绒毛膜滋养层细胞株HTR-8/SVneo细胞购自中国科学院上海生科院细胞资源中心。引物和pCR 3.1/SOCS-3载体均由上海生工生物公司构建合成。10%胎牛血清、青霉素/链霉素与DMEM培养基均购自美国

Gibco公司,Lipofectamine 2000转染试剂购自美国Hyclone公司,Trizol试剂盒、cDNA合成试剂盒与SYBR Green qPCR Master Mix试剂盒购自美国Thermo Scientific公司,CCK-8试剂盒和Annexin V-FITC凋亡检测试剂盒购自南京凯基生物科技发展有限公司,RIPA细胞裂解液、BCA蛋白检测试剂盒与发光液ECL购自上海碧云天生物技术有限公司,0.1%结晶紫染色液和免疫组化染色试剂购自北京雷根生物技术有限公司,SOCS-3、GAPDH一抗与辣根过氧化物酶标记山羊抗兔IgG二抗购自美国Abcam公司。

1.3 免疫组织化学染色检测细胞因子信号传导抑制蛋白-3表达

将固定好的胎盘组织进行常规石蜡包埋,切成厚度为4 μm的薄片,脱蜡至水后,滴加2%乙二胺四乙酸(EDTA)溶液高温下进行抗原修复,使用3% H₂O₂去除内源性过氧化物酶。滴加兔抗SOCS-3(1:200)在4℃过夜,次日PBS冲洗,滴加辣根过氧化物酶(HRP)标记山羊抗兔IgG(1:1 000),室温下孵育1 h,PBS冲洗后,DAB显色,苏木精复染,中性树胶封片,在电镜下观察,组织中特异性淡黄色、棕黄色颗粒即为阳性表达。

1.4 细胞培养、分组与转染

在HTR-8/SVneo细胞中加入含10%胎牛血清、1%青霉素/链霉素双抗的DMEM培养基,置于37℃、5%CO₂培养箱内培养。将对数生长期的细胞以1×10⁵个/孔接种于六孔板中孵育过夜,待细胞长满瓶底50%~70%时进行转染。将细胞随机分为3组:空白对照组、空质粒转染组与SOCS-3质粒转染组。根据Lipofectamine 2000试剂说明操作,分别将构建好的pCR 3.1空质粒载体与pCR 3.1/SOCS-3载体转染至空质粒载体转染组与SOCS-3质粒转染组细胞中,在37℃、5%CO₂培养箱中培养,次日换液,继续培养72 h后收集细胞。

1.5 实时荧光定量PCR检测细胞因子信号传导抑制蛋白-3 mRNA表达

使用Trizol试剂提取GDM患者和健康孕妇胎盘组织及各处理组HTR-8/SVneo细胞的总RNA。按照cDNA合成试剂盒说明进行逆转录合成cDNA,采用SYBR Green qPCR Master Mix试剂盒进行qRT-PCR检测

SOCS-3 mRNA 表达,以 β -actin 为内参基因。扩增条件包括 95°C 5 min(1 个循环);95°C 30 s, 60°C 15 s, 72°C 30 s(40 个循环)。采用 $2^{-\Delta\Delta Ct}$ 法计算 SOCS-3 mRNA 相对表达量。使用引物序列如下: SOCS-3 上游引物 5'-CAGATCCACGCTGGCTCC-3', 下游引物 5'-CGGTTGGACTTCTGTGTTG-3', β -actin 上游引物: 5'-CCTGGCACCCAGCACGCTTC-3', 下游引物: 5'-GCCGATCCACACGGAGTAC-3'。

1.6 Western blot 检测细胞因子信号传导抑制蛋白-3 蛋白表达

在各处理组 HTR-8/SVneo 细胞中加入 RIPA 细胞裂解液,提取细胞的总蛋白,采用 BCA 试剂盒测定蛋白浓度。以每孔 30 μ g 蛋白的量上样,进行 10% SDS-PAGE 电泳,将分离蛋白转移至 PVDF 膜,5% 脱脂奶粉室温封闭 2 h,滴加免抗 SOCS-3 (1: 200) 与内参 GAPDH (1: 1 000) 抗体,4°C 孵育过夜,TBST 洗膜,滴加 HRP 标记山羊抗兔 IgG(1: 1 000),室温孵育 2 h,TBST 洗膜后,滴加化学发光液 ECL 显色,凝胶成像系统中曝光,采用 Image J 图像分析软件分析各条带灰度值。

1.7 CCK-8 检测细胞活性

各处理组 HTR-8/SVneo 细胞以 2×10^4 个/孔接种至 96 孔板,在 37°C、5% CO₂ 细胞培养箱中培养 24、48、72 h 后分别取出细胞,在每孔中加入 10 μ L CCK-8 溶液,轻轻混匀,继续孵育 2 h,根据 CCK-8 试剂盒说明,在酶标仪上 450 nm 处检测各孔细胞光密度(OD)。

1.8 流式细胞术检测细胞周期分布

将各处理组 HTR-8/SVneo 细胞用 PBS 洗涤,使用预冷的 75% 乙醇重悬后在 -20°C 下固定 24 h,PBS 再次洗涤并重悬细胞,每组取 450 μ L 细胞悬液,加 2 μ L RNase 后,37°C 下孵育 10 min,接着加 500 μ L 碘化丙啶(PI),置于 37°C 下避光孵育 30 min,过 300 目筛网,通过流式细胞仪检测细胞周期分布情况。

1.9 Annexin V-FITC/PI 染色、Hoechst 33342 染色检测细胞凋亡

将各处理组 HTR-8/SVneo 细胞以 1×10^5 个/孔接种于 6 孔板过夜培养,使用胰蛋白酶消化后收集, PBS 洗涤细胞。根据 Annexin V-FITC 试剂盒进行细胞凋亡检测,加入 500 μ L 1 × Binding Buffer 重细胞,接着加入 5 μ L Annexin V-FITC 结合液与 10 μ L PI 混匀,室温避光孵育 15 min,立即通过流式细胞仪上机检测细胞凋亡情况。

将各处理组 HTR-8/SVneo 细胞使用 4% 多聚甲醛固定过夜,以 0.5% Triton X-100 透化 15 min, PBS 洗涤细胞,滴加终浓度 5 μ g/mL Hoechst 33342 染色,室温避光孵育 30 min,PBS 再次洗涤,脱水后中性树胶封片,使用荧光显微镜下观察细胞凋亡情况。

1.10 统计学分析

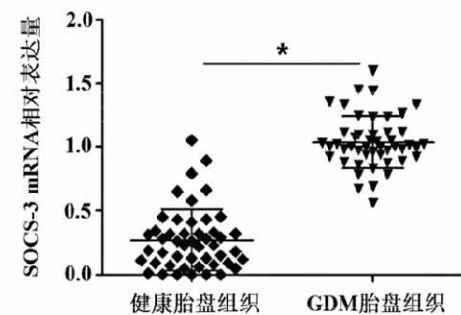
采用 SPSS 22.0 软件进行统计学分析,计量数据以 $\bar{x} \pm s$ 表示,两组间比较采用 *t* 检验,多组间比较采用单因

素方差分析, $P < 0.05$ 为差异有统计学意义。

2 结果

2.1 胎盘组织中细胞因子信号传导抑制蛋白-3 表达检测

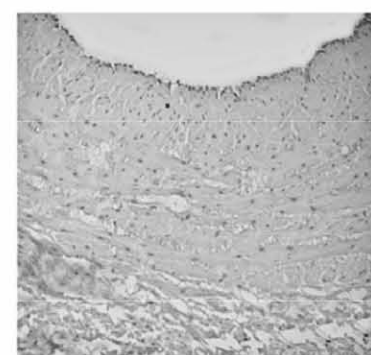
qRT-PCR 检测 SOCS-3 mRNA 在 50 例 GDM 患者与 50 例健康孕妇胎盘组织中表达的结果显示,SOCS-3 mRNA 在 GDM 患者胎盘组织中的表达水平高于健康孕妇,差异有统计学意义($P < 0.05$),见图 1。



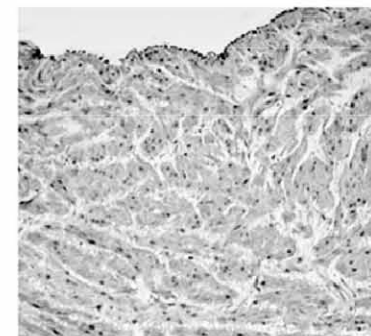
注: * 表示 GDM 患者与健康孕妇胎盘组织比较, $P = 0.001$ 。

图 1 qRT-PCR 检测胎盘组织中 SOCS-3 mRNA 的表达

免疫组化染色检测 GDM 患者与健康孕妇胎盘组织中 SOCS-3 蛋白表达, SOCS-3 在健康孕妇胎盘组织中阳性表达率为 (8.42 ± 1.03)%, GDM 患者胎盘组织中 SOCS-3 阳性表达率为 (30.70 ± 2.87)%, 两组比较差异有统计学意义($P = 0.001$),见图 2。



健康胎盘组织



GDM 胎盘组织

图 2 免疫组化染色检测胎盘组织中 SOCS-3 蛋白表达($\times 200$)

2.2 pCR3.1/细胞因子信号传导抑制蛋白-3 转染效率鉴定

qRT-PCR 与 Western blot 检测结果显示,与空白对照组相比,在 pCR3.1/SOCS-3 转染的 HTR-8/SVneo 细胞中,SOCS-3 mRNA 及蛋白的表达量显著升高,差异有统计学意义($P=0.001, 0.002$);而空质粒转染组较空白对照组细胞中 SOCS-3 mRNA 及蛋白的表达量比较差异无统计学意义($P=0.751, 0.544$),见图 3。提示 SOCS-3 基因转染成功。

2.3 过表达细胞因子信号传导抑制蛋白-3 对 HTR-8/SVneo 细胞增殖的影响

CCK-8 检测过表达 SOCS-3 对 HTR-8/SVneo 细胞增殖能力的影响,与空白对照组比较,SOCS-3 质粒转染组的 HTR-8/SVneo 细胞转染后培养细胞 24 h、48 h 和

72 h,细胞增殖活性显著下降,差异有统计学意义($t=8.762, 8.758, 10.029; P=0.003, 0.003, 0.001$);空质粒转染组与空白对照组细胞的增殖活性比较差异无统计学意义($t=0.585, 0.311, 0.629; P=0.405, 0.411, 0.560$),详见表 1。

2.4 过表达细胞因子信号传导抑制蛋白-3 对 HTR-8/SVneo 细胞周期分布的影响

流式细胞术检测过表达 SOCS-3 对 HTR-8/SVneo 细胞周期分布的影响,与空白对照组比较,SOCS-3 质粒转染组的 S 期细胞比例升高而 G1 期细胞比例下降,差异有统计学意义($t=35.786, 40.878; P=0.001, 0.001$);空质粒转染组与空白对照组 G1 期、S 期和 G2 期细胞比例比较,差异均无统计学意义($t=0.452, 0.358, 0.401; P=0.726, 0.803, 0.719$),见图 4、下页表 2。

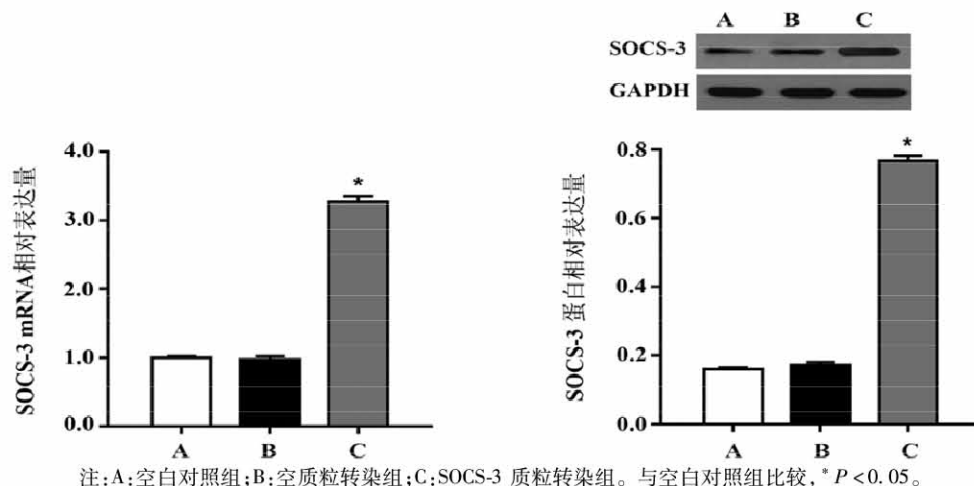


图 3 qRT-PCR 与 Western blot 检测细胞中 SOCS-3 mRNA 与蛋白的表达量

表 1 各组 HTR-8/SVneo 细胞活性比较($\bar{x} \pm s$)

组别	0 h	24 h	48 h	72 h
空白对照组	0.25 ± 0.03	0.56 ± 0.05	0.75 ± 0.07	0.90 ± 0.08
空质粒转染组	0.24 ± 0.03	0.55 ± 0.04	0.75 ± 0.06	0.91 ± 0.08
SOCS-3 质粒转染组	0.24 ± 0.02	$0.34 \pm 0.04^*$	$0.51 \pm 0.04^*$	$0.65 \pm 0.06^*$

注: * 与空白对照组比较, $P < 0.05$ 。

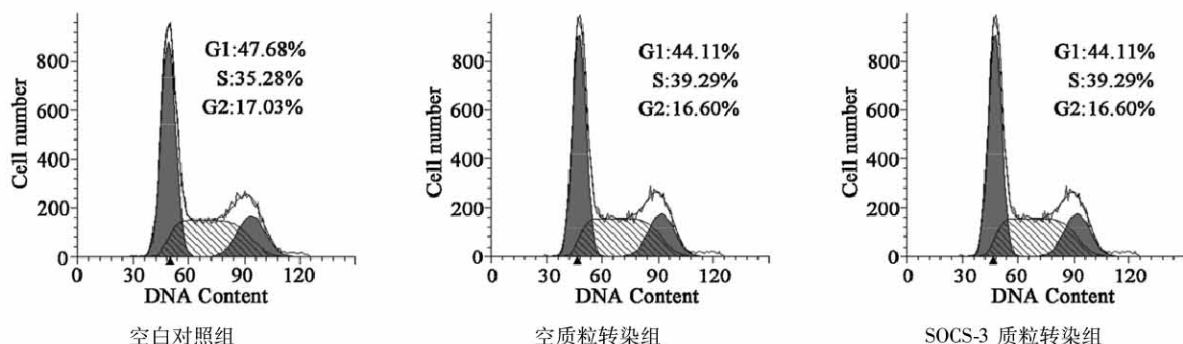


图 4 流式细胞术检测细胞比例分布

表 2 各组 HTR-8/SVneo 细胞周期分布比较($\bar{x} \pm s$)

组别	G1 期细胞比例(%)	S 期细胞比例(%)	G2 期细胞比例(%)
空白对照组	47.68 ± 4.02	35.28 ± 3.35	17.03 ± 1.48
空质粒转染组	44.11 ± 4.15	39.29 ± 4.07	16.60 ± 1.21
SOCS-3 质粒转染组	34.01 ± 3.56 *	50.73 ± 5.62 *	15.26 ± 1.33

注: * 与空白对照组比较, $P < 0.05$ 。

2.5 过表达细胞因子信号传导抑制蛋白-3 对 HTR-8/SVneo 细胞凋亡的影响

Annexin V-FITC/PI 检测过表达 SOCS-3 对 HTR-8/SVneo 细胞凋亡影响,与空白对照组比较,SOCS-3 质粒转染组的 HTR-8/SVneo 细胞凋亡率升高,差异有统计学意义($P = 0.001$);空质粒转染组与空白对照组的细胞凋亡率比较,差异无统计学意义($P = 0.801$),见图 5。

Hoechst 33342 染色检测结果同样显示,空白对照组和空质粒转染组 HTR-8/SVneo 细胞细胞核外围轮廓较清晰,细胞大小较为一致,未见明显的细胞核浓缩、碎裂等凋亡现象。而 SOCS-3 质粒转染组的 HTR-8/SVneo 细胞出现细胞核核固缩、碎裂和溶解的现象,说明细胞出现凋亡,见图 6。

3 讨论

胎盘作为联系母婴的重要器官,其发育情况是妊娠

的重要影响因素^[7]。人胎盘滋养细胞是胎盘的主要组成成分,在胎盘的发育过程中,位于母胎屏障最外层的胎盘滋养层细胞会分泌大量激素和细胞因子,从而对胎盘形成和功能的维持发挥着重要作用^[8-9],滋养细胞功能异常涉及多种妊娠疾病的发生。多项研究表明,维持滋养细胞的正常功能,例如增殖、凋亡、侵袭、分化和血管重塑对于确保胚胎的发育极为重要。

SOCS-3 具有阻断信号传导通路的作用,已被证实为 JAK/STAT 信号转导途径负调节中最关键的因子,SOCS-3 表达可以抑制 Janus 激酶(janus kinase,JAK)与信号转导和转录激活子(signal transducer and activator of transcription,STAT)活性以及信号传导途径中一系列细胞因子的激活,此外,还能够抑制包括脂多糖(lipopolysaccharides,LPS)、白血病抑制因子(leukemia inhibitory factor,LIF)、白细胞介素-2(interleukin-2,IL-2)、白细胞介素-4(interleukin-4,IL-4)以及干扰素-γ

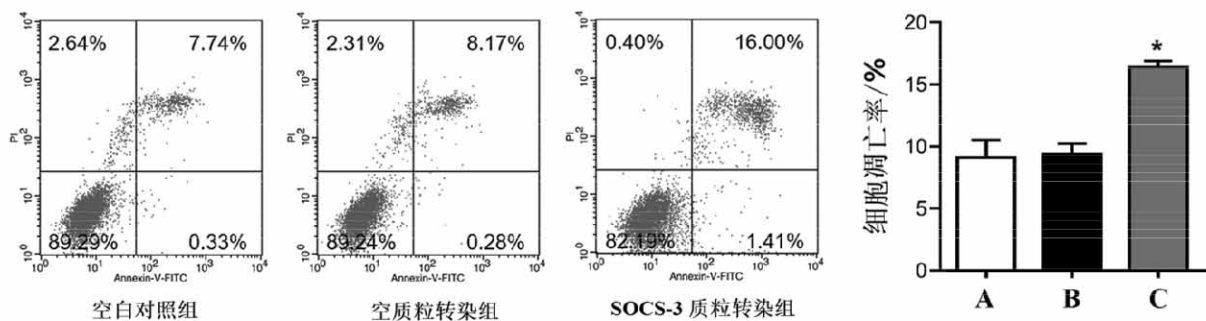
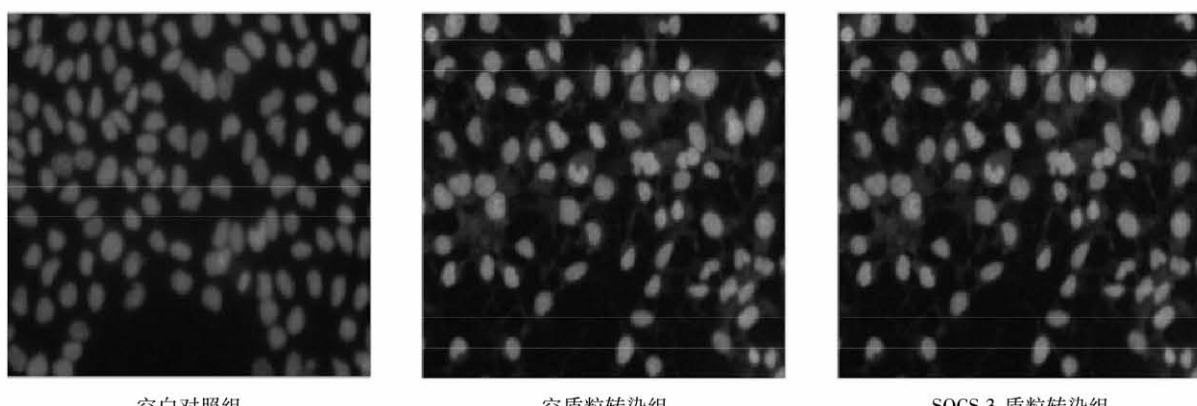


图 5 Annexin V-FITC/PI 染色检测细胞凋亡

图 6 Hoechst 33342 染色检测细胞凋亡($\times 200$)

(interferon-gamma, IFN- γ) 等产生的信号通路途径^[10]。先前已有研究证明,在肝癌、肺癌和乳腺癌等的实体瘤中均检测到 SOCS-3 低表达,在血液系统恶性肿瘤中也发现了 SOCS-3 表达下降,并导致了持续性 STAT 3 磷酸化和抗肿瘤相关基因的低表达^[11-12]。而 Chatterjee 等^[13]通过研究发现,使用匹格列酮治疗糖尿病会明显减少 SOCS-3 的表达,导致患者出现肝炎和胰岛素抵抗的现象。洪小萍等^[6]的研究表明,GDM 孕妇胎盘和脂肪组织中 SOCS-3 mRNA 表达量均升高。本研究的结果与此前一致,GDM 孕妇胎盘组织中 SOCS-3 mRNA 和蛋白的表达量均升高。

绒毛外滋养层细胞有助于滋养细胞浸润,使细胞能够逐渐移入子宫螺旋动脉,替换血管内皮和肌肉内膜并扩大血管直径,从而使整个子宫内有足够的胎盘界面。所以,胚胎的成功着床、胎盘的形成及胚胎的生长发育,与滋养细胞的增殖、侵袭功能密切相关^[13]。本研究结果显示,过表达 SOCS-3 会抑制滋养细胞的活性,对细胞正常增殖产生影响。当滋养层细胞遭受过度的氧化应激时,大量的活性氧(reactive oxygen species, ROS) 积聚,并导致妊娠并发症发生^[14]。过量的 ROS 能够通过线粒体依赖性途径刺激细胞凋亡。研究表明,GDM 患者胎盘中滋养细胞异常凋亡会导致胎盘组织生长增加,进而引起胎儿过度发育^[15]。本研究结果显示,在 HTR-8/SVneo 细胞中过表达 SOCS-3 后,促进了细胞凋亡的发生,由此说明过表达 SOCS-3 可能会导致滋养细胞增殖能力下降并出现异常凋亡现象。

综上所述,SOCS-3 在 GDM 患者胎盘组织中高表达,过表达 SOCS-3 会抑制滋养细胞的增殖活性并促进细胞凋亡,说明 SOCS-3 与 GDM 的发生、发展有关,可作为生物学标志为 GDM 的诊治及预后判断提供理论支持。

【参考文献】

- [1] Shen Y, Hou L, Liu H, et al. Racial differences of incident diabetes postpartum in women with a history of gestational diabetes [J]. J Diabetes Complicat, 2019, 33(12):107472.
- [2] Sun YY, Juan J, Xu QQ, et al. Increasing insulin resistance predicts adverse pregnancy outcomes in women with gestational diabetes mellitus [J]. J Diabetes, 2020, 12(6):438-446.
- [3] Kiplagat S, Coudray MS, Taskin T, et al. Methodological evaluation of antipsychotic use during pregnancy and gestational diabetes mellitus [J]. J Clin Psychopharm, 2020, 40(3):319-320.
- [4] Tang XM, Dai J, Sun HL. Upregulation of suppressor of cytokine signaling 3 ameliorates spinal degenerative disease in adolescents by mediating leptin and tumor necrosis factor- α levels [J]. Exp Ther Med, 2019, 18(3):2231-2237.
- [5] Feng S, Wang J, Xu X, et al. The expression of SOCS and NF- κ B p65 in hypopharyngeal carcinoma [J]. Iran J Public Health, 2018, 47(12):1874-1882.
- [6] 洪小萍,何云,陈国庆,等.信号传导抑制因子在妊娠期糖尿病胰岛素抵抗中的作用机制研究[J].黑龙江医学,2019,43(6):610-613.
- [7] Martino J, Sebert S, Segura MT, et al. Maternal body weight and gestational diabetes, differentially influence placental and pregnancy outcomes [J]. J Clin Endocrinol Metab, 2016, 101(1):59-68.
- [8] Valent A, Choi H, Kolahi K. Gestational diabetes mellitus impacts global metabolic dysfunction in the cytotrophoblast and not the syncytiotrophoblast [J]. Placenta, 2017, 57:263-264.
- [9] 蒋锦杏,张慧,任莉莉,等.人胎盘滋养细胞内双链 DNA 识别受体的表达模式及其在介导滋养细胞死亡中的作用 [J]. 中国现代医药杂志,2020,22(3):10-14.
- [10] Baker BJ, Qin H, Benveniste EN. Molecular basis of oncostatin M-induced SOCS-3 expression in astrocytes [J]. Glia, 2008, 56(11):1250-1262.
- [11] Banerjee S, Biehl A, Gadina M, et al. JAK-STAT signaling as a target for inflammatory and autoimmune diseases: current and future prospects [J]. Drugs, 2017, 77(5):521-546.
- [12] Huang L, Hu B, Ni J, et al. Transcriptional repression of SOCS3 mediated by IL-6/STAT3 signaling via DNMT1 promotes pancreatic cancer growth and metastasis [J]. J Exp Clin Cancer Res, 2016, 35(27):1-15.
- [13] Chatterjee PK. Hepatic inflammation and insulin resistance in prediabetes-further evidence for the beneficial actions of PPAR-gamma agonists and a role for SOCS-3 modulation [J]. Br J Pharmacol, 2010, 160(8):1889-1891.
- [14] Sato Y. Endovascular trophoblast and spiral artery remodeling [J]. Mol Cell Endocrinol, 2019, 503:110699.
- [15] Tian J, Liu Y, Hu M, et al. Upregulated LncZBTB39 in pre-eclampsia and its effects on trophoblast invasion and migration via antagonizing the inhibition of miR-210 on THSD7A expression [J]. Eur J Obstet Gyn R B, 2020, 248:164-171.

(收稿日期:2020-08-20 编辑:向晓莉)